

УДК 621.315.592

**ВОЛЬТ-АМПЕРНЫЕ ХАРАКТЕРИСТИКИ КОНТАКТА  
МЕТАЛЛ—ФЕРРОМАГНИТНЫЙ ПОЛУПРОВОДНИК  $HgCr_2Se_4$**

*B. B. Осипов, B. И. Михайлов, A. A. Самохвалов,  
H. M. Чеботаев*

Экспериментально исследованы вольт-амперные характеристики (ВАХ) контакта металл (M)—ферромагнитный полупроводник (ФМП). Полученные результаты объясняны туннелированием носителей заряда из M в верхнюю незаполненную подзону ФМП, образованную из зоны проводимости расщеплением за счет  $s-d$ -обменного взаимодействия. Также обнаружено, что при понижении температуры имеет место переход от выпрямляющего контакта к омическому, что связано с увеличением работы выхода электронов из ФМП вследствие так называемого «красного сдвига» дна зоны проводимости.

Свойство контакта металл—полупроводник, например выпрямляющий переход Шоттки<sup>[1]</sup>, используется в различных технических приложениях. Поэтому с точки зрения создания магнитоуправляемых диодов на основе ферромагнитного полупроводника несомненный интерес представляет исследование ВАХ контакта M—ФМП.

В [2] было показано, что в ряде случаев в контакте M—ФМП реализуется выпрямляющий переход Шоттки. Однако для контакта M—ФМП могут существовать и другие новые возможности, до сих пор не исследованные и состоящие в следующем. В M носители заряда деполяризованы. В ФМП при  $T < T_k$  зона проводимости расщепляется на две подзоны с различной спиновой поляризацией, причем величина расщепления  $\Delta_{sd} \gg kT$ , поэтому все носители находятся в нижней подзоне, а верхняя пуста. При приложении к контакту M—ФМП достаточно сильного электрического поля при  $T < T_k$  для электронов из M с поляризацией, соответствующей верхней подзоне, появляется возможность туннелирования в верхнюю подзону. Как известно из теоретических работ<sup>[3, 4]</sup>, заброс носителей в верхнюю подзону ФМП должен приводить к обменному испусканию магнонов носителями тока и соответствующему увеличению рассеяния носителей заряда на магнонах (уменьшению их подвижности). Этот процесс должен приводить к нелинейностям ВАХ. В данной работе сообщается о результатах исследования ВАХ контакта M—ФМП  $HgCr_2Se_4$  *n*-типа, объясняющих туннелированием носителей заряда из M в верхнюю подзону ФМП.

### 1. Методика измерений и образцы

ВАХ контакта M—ФМП исследовались на несимметричных контактах. На одну из граней монокристаллического образца наносился контакт из HgIn пастой площадью во всю грань. На противоположной грани формировался игольчатый контакт. Применялись два типа подпружиненных игл. Первый тип игл изготавлялся электрополированной медной проволоки диаметром 30 мкм. Далее острие контакта смачивалось HgIn пастой. Выбор этого типа контактного материала обусловливался тем, что в [5] сообщалось о наблюдении N-образной ВАХ и СВЧ генерации в приконтактной области образцов *n*-типа  $HgCr_2Se_4$  с kontaktами из этого материала.

риала. Толщина полученной на игле пленки из пасты могла регулироваться испарением при нагреве. Иглы другого типа были вольфрамовыми из промышленно изготавляемых СВЧ диодов. Использовались как естественные грани монокристаллов, так и сошлифованные и протравленные. Существенной разницы в результатах между естественными и сошлифованными и протравленными гранями обнаружено не было.

Исследуемые образцы отжигались в парах ртути с различным давлением и имели концентрацию носителей от  $10^{19}$  до  $5 \cdot 10^{16} \text{ см}^{-3}$  при 300 К и от  $10^{19}$  до  $10^{17} \text{ см}^{-3}$  при 77 К.

Сопротивление игольчатых контактов составляло 1—10 кОм. Оценка размера контакта по величине удельного сопротивления монокристалла (без учета контактного сопротивления) дает величину 0.1—1 мкм.

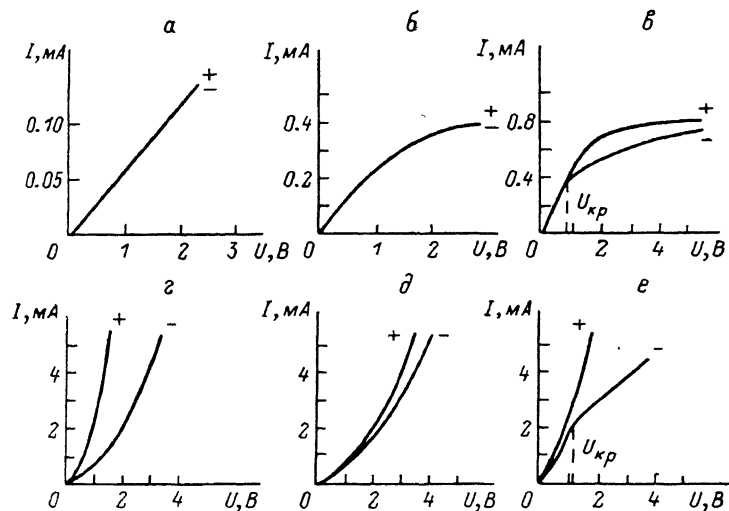


Рис. 1.

Использование импульсной методики ( $\tau_{\text{мин}}=5$  мкс) позволяло в некоторых случаях полностью исключить нагрев ФМП под контактом. Так, прямоугольность импульсов тока и напряжения при наличии температурной зависимости сопротивления контакта свидетельствует об отсутствии джоулева нагрева ФМП.

ВАХ записывалась по методу амперметра—вольтметра с помощью двухканальной стrobоскопической приставки [6].

## 2. Результаты измерения

На рис. 1, *a*—*e* изображены ВАХ для контакта  $\text{HgIn}-\text{HgCr}_2\text{Se}_4$  ( $p=0.5$  атм) при различных температурах. Для удобства сравнения прямая и обратная ветви ВАХ изображены в одном квадранте. Знак у кривой соответствует знаку напряжения на игле. При  $200 \leq T \leq 300$  К (рис. 1, *a*) ВАХ представляют собой прямые, совпадающие для обоих направлений тока. При  $T_k \sim 115 \div 120$  К  $\leq T \leq 200$  К (рис. 1, *b*) на ВАХ образуется нелинейность. При  $T \leq T_k \approx 120$  К и  $U > U_{kp}$  (рис. 1, *c*, *e*) возникает разница для различных направлений тока, т. е. у ВАХ появляются выпрямляющие свойства.

На рис. 1, *g*—*e* представлены ВАХ для контакта  $\text{HgIn}-\text{HgCr}_2\text{Se}_4$  ( $p=10$  атм) при различных температурах. При 300 К (рис. 1, *g*) контакта имеет диодные свойства. При понижении температуры  $T_k \leq T \leq 220$  К (рис. 1, *h*, *d*) выпрямляющие свойства контакта уменьшаются, а при  $T \leq T_k \sim 120$  К и  $U > U_{kp}$  (рис. 1, *e*) увеличиваются.

Можно ввести параметр диодности  $D=I^+/I^-$  — отношение токов различных направлений через контакт при одинаковых по величине, но разных по знаку напряжениях. На рис. 2 представлены зависимости  $D(T)$

для различных образцов и типов иголок. Для контакта  $HgIn-HgCr_2Se_4$ ,  $p=0.5$  атм (рис. 2, 1)  $D$  не зависит от температуры при  $T > 120$  К, тогда как для контакта  $W-HgCr_2Se_4$ ,  $p=0.5$  атм (рис. 2, 2)  $D$  растет с увеличением температуры. Для контакта  $HgIn-HgCr_2Se_4$ ,  $p=10$  атм (рис. 2, 3) при общей тенденции к уменьшению зависимость  $D(T)$  немонотонна, а в случае  $p=1$  атм (рис. 2, 4) имеет резкий скачок в районе 240 К.

На рис. 3 представлены зависимости  $U_{kp}(T)$  для различных образцов и типов иголок: 1, 3 —  $W-HgCr_2Se_4$ ,  $p=10$  (1) и 0.5 атм (3); 2, 4 —  $HgIn-HgCr_2Se_4$ ,  $p=0.5$  (2) и 1 атм (4). Как видно,  $U_{kp}(T)$  для всех образцов и типов иголок приблизительно совпадают и повторяют температурную зависимость намагниченности. В частности, при  $T=0$   $U_{kp}=1$ , 1. В, при  $T \approx 120$  К  $U_{kp}=0$ .

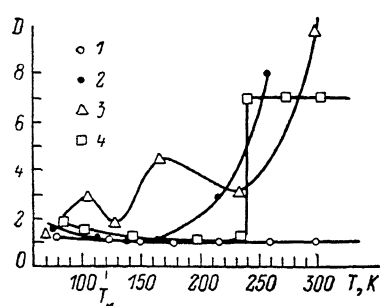


Рис. 2. Зависимость  $D(T)$  для контакта  $M-HgCr_2Se_4$ .

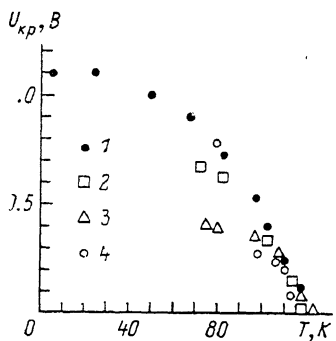


Рис. 3. Зависимости  $U_{kp}(T)$  для контакта  $M-HgCr_2Se_4$ .

### 3. Обсуждение результатов

Рассмотрим коротко основные свойства контакта металл—полупроводник [1]. В зависимости от соотношения работы выхода металла и полупроводника  $n$ -типа возможны как омический, так и выпрямляющий контакты. В первом случае работа выхода электронов из металла  $\lambda_m$  меньше работы выхода из полупроводника  $\lambda_n$ . При контакте электроны из металла переходят в полупроводник, образуя на поверхности контакта полупроводника обогащенный слой с повышенной концентрацией. ВАХ такого контакта является омической. Во втором случае  $\lambda_m > \lambda_n$  электроны из полупроводника переходят в металл, образуя в полупроводнике обедненный слой. В этом случае контакт обладает выпрямляющими свойствами (диод Шоттки), причем знак запорного напряжения соответствует минусу на металле. Именно такой знак имеет запорное напряжение на ВАХ контактов  $M-\Phi MP$ .

Рассмотрим теперь некоторые дополнительные возможности, которые возникают в контакте  $M-\Phi MP$ . На рис. 4 изображена энергетическая схема контакта  $M-\Phi MP$  без разности (a) и с разностью (b) потенциалов на контакте. Концентрации носителей заряда в исследуемых образцах составляют  $10^{17}-10^{19}$  см<sup>-3</sup>, а зависимости  $\rho(T)$  имеют квазиметаллический характер, поэтому электронный газ во всем рассматриваемом температурном интервале можно считать близким к вырождению. При  $n=10^{19}$  см<sup>-3</sup>  $E_F \approx 100$  К.

Величина  $s-d$ -обменного расщепления составляет

$$\Delta_{sd} = \pm \frac{1}{2} SJ_{sd} \frac{M(T)}{M_0}. \quad (1)$$

Здесь  $J_{sd}$  — величина  $s-d$ -обменного интеграла;  $M(T)$  — намагниченность насыщения при температуре  $T$ ;  $M_0$  — намагниченность насыщения при  $T=0$  К. Для  $HgCr_2Se_4$   $n$ -типа  $\Delta_{sd}$  составляет, по данным оптических измерений по величине красного сдвига,  $\approx 0.5$  эВ при  $T=4.2$  К [7]. Как видно из (1), зависимость  $\Delta_{sd}(T)$  пропорциональна зависимости  $M(T)$ .

При подаче отрицательного напряжения на  $M$  (рис. 4, б), кроме обычного движения электронов вблизи уровня  $E_F$  (отмечено стрелкой), для половины электронов из металла с соответствующей поляризацией возможно туннелирование в верхнюю подзону (штриховая стрелка). При этом закон сохранения энергии дает

$$U_{kp} \geq 2\Delta - E_F \approx 2\Delta(T). \quad (2)$$

Наличие туннелирования в верхнюю подзону при  $U > U_{kp}$  должно приводить к уменьшению электропроводности, так как подвижность вследствие  $s-d$ -обменного испускания магнона существенно ниже [3].

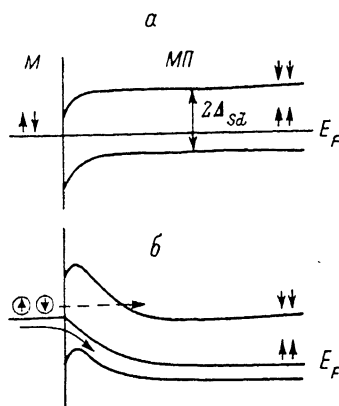


Рис. 4. Энергетическая схема контакта М—ФМП.

ности. Величина  $U_{kp}$  приблизительно совпадает с величиной  $2\Delta_{sd}$ , определенной из вышеупомянутых оптических измерений. Так, на рис. 3 при  $T=4.2$  К  $U_{kp} \approx 1.1$  В и  $2\Delta_{sd}=1.1$  эВ, что близко к величине  $2\Delta_{sd}=-1$  эВ из [7].

Рассмотрим теперь переход выпрямляющий—омический контакт при понижении температуры (рис. 2). По-видимому, такой переход может быть объяснен красным сдвигом. При понижении температуры вследствие красного сдвига увеличивается работа выхода для ферромагнитного полупроводника  $\chi_{mp}$ , а работа выхода для металла  $\chi_m$  остается неизменной. Поэтому такой переход (по аналогии со свойствами контакта металл—полупроводник) отражает переход от  $\chi_m > \chi_{mp}$  к  $\chi_m < \chi_{mp}$ . Согласно [7], красный сдвиг при понижении температуры от 300 до 200 К составляет 0.1 эВ. В то же время причины немонотонного поведения  $D(T)$  для контакта  $HgIn-HgCr_2Se_4$  ( $p=10$  атм) неясны.

Интересным явлением кажется также переход от омического к выпрямляющему контакту при повышении концентрации носителей заряда с увеличением степени легирования для случая  $HgIn-HgCr_2Se_4$  в районе  $T=300$  К. Вероятно, что такой переход обусловлен ростом  $E_F \sim n^{1/2}$  с ростом  $n$  и соответствующим уменьшением работы выхода.

#### Список литературы

- [1] Бонч-Бруевич В. Л., Калашников С. Г. Физика полупроводников. М.: Наука, 1977. 670 с.
- [2] Бужор В. П. // Тез. докл. Всес. конф. «Тройные полупроводники и их применение». Кишинев: Штиинца, 1983. С. 87.
- [3] Haas C. // IEEE Trans. Magn. 1969. V. 5. N 3. P. 487.
- [4] Roth S. // Phys. St. Sol. (a). 1972. V. 43. N 2. P. 443—473.
- [5] Осипов В. В., Самохвалов А. А., Костылев В. А. // ФТТ. 1987. Т. 29. № 9. С. 2809—2811.
- [6] Ильин Д. А., Осипов В. В. // ПТЭ. 1982. № 6. С. 96—98.
- [7] Selmi A., Le Toulles R., Faymonville R. // Phys. St. Sol. (b). 1982. V. 114. N 2. P. K97—K99.